

مطالعه اثرات پیشگیرانه و درمانی کاروتونوئید آستاگزانتین بر روی بیماری در Multiple Sclerosis

موش‌های مدل C57BL/6

سایه بیداران Ph.D.^۱، پریچهره یغمایی Ph.D.^{۲*}، علیرضا احمدی Ph.D.^۳، آزاده ابراهیم حبیبی Ph.D.^۴، محمد حسین صنعتی^۵

- ۱- دانشگاه آزاد اسلامی، واحد علوم و تحقیقات تهران، دانشکده علوم پایه، گروه زیست شناسی، تهران، ایران
- ۲- دانشگاه الزهرا، پژوهشکده زنان، گروه بیومدیکال، تهران، ایران
- ۳- دانشگاه علوم پزشکی تهران، مرکز تحقیقات غدد درون ریز و متابولیسم، گروه مدل‌سازی مولکولی، تهران، ایران
- ۴- پژوهشگاه ملی مهندسی ژنتیک و زیست فناوری، گروه ژنتیک پزشکی، تهران، ایران

* پست الکترونیک نویسنده مسئول: yaghmaei_p@yahoo.com

تاریخ پذیرش: ۱۳۹۷/۱۰/۲

تاریخ دریافت: ۱۳۹۷/۷/۲۴

چکیده

هدف: در مطالعه حاضر به بررسی امکان مفید بودن آستاگزانتین در مدل موشی بیماری MS، آنسفالومیلیت تجربی خود این (EAE) پرداخته شده است.

مواد و روش‌ها: بیماری EAE با استفاده از پپتید 55-55 MOG و ادجوانات کامل فروند (CFU) در موش‌های ماده 6/ C57BL/6 القاشد. موش‌ها در گروه کنترل نرمال، گروه بیمار، گروه پیشگیری دریافت کننده آستاگزانتین ۲۱ روز قبل از القا بیماری و گروه درمانی که پس از ایمونیزاسیون و با شروع علائم بیماری، آستاگزانتین را دریافت کردند، قرار گرفتند. هر گروه شامل ۸ راس موش بود. مصرف آستاگزانتین تا ۳۵ روز پس از ایمونیزاسیون ادامه یافت و هر روز به مقدار 0.04 درصد وزن پلت مورد مصرف (حدود ۴۰۰ میلی گرم) آستاگزانتین مصرف می‌شد. سپس میزان تکثیر سلولی بهوسیله آزمون MTT، میزان تولید اینترلوکین ۶ و اینترلوکین یک بتا سرم خونی به وسیله ELISA سنجیده شد. علاوه بر این بافت‌های نخاع نیز به منظور ارزیابی‌های ایمونو‌هیستوپاتولوژی مطالعه شدند.

نتایج: بر اساس نتایج به دست آمده مصرف آستاگزانتین منجر به بروز پیامدهای بالینی و آسیب شناختی مناسبی شده به طوری که منجر به کاهش تولید سایتوکاین‌های پیش التهابی β IL1 β ، IL6 شد ($p < 0.001$) مطالعات ایمونو‌هیستوپاتولوژی نیز کاهش ارتash لکوسیت‌ها را در بافت نخاع گروه‌های تجربی نشان دادند.

نتیجه‌گیری: در مجموع ممکن است که این رهیافت دارویی به عنوان یک استراتژی سودمند در پیشگیری و درمان بیماری مالتیپل اسکلروز مطرح شد.

وازگان کلیدی: آستاگزانتین، آنسفالومیلیت تجربی خود این، سایتوکاین التهابی، مالتیپل اسکلروزیس

مقدمه

و در تنظیم بیان زن، القا ارتباطات سلول - سلول و سلامت سلول نقش دارند (۶). آستاگزانتین به میزان بیشتری نسبت به سایر ترکیبات کاروتوئیدی آزاد شدن فاکتورهای ایمنی مانند IL-10 و TNF- α و تولید آنتی‌بادی‌های IgM را افزایش می‌دهد. دلیل اهمیت مطالعه درباره اثرات سودمند آستاگزانتین این است که این کاروتوئید حتی در شرایط التهابی خفیف قادر است پاسخ ایمنی قابل توجهی ایجاد نماید (۷). مطالعات پیشین نشان داد تنش‌های اکسایشی آسیب زننده به سیستم عصبی، بیماری‌های عصبی را ایجاد می‌نماید و در مقابل تغذیه با آنتی‌اکسیدانت‌ها احتمال خطر این بیماری‌ها را کاهش می‌دهد اثرات محافظتی آستاگزانتین مرتبط با ساختار منحصر به فرد آستاگزانتین و نحوه قرارگیری آن و تاثیر بر ساختار غشا سلول و عملکرد آن است، از طرفی دیگر خواص آنتی‌اکسیداتیو و ضدالتهابی آن سبب شده است کاندیدای مناسبی برای کاهش آسیبهای مزمن و حاد تخریب نورونی و درمان بیماری‌های عصبی و محافظت از سلول‌های عصبی پائین از جلبک هماتوکوکوس پلوویالیس، مخمر فافیا رودوزیما و ... می‌توان آن را استخراج کرد (۸-۱۰).

گزارشها نشان می‌دهد در پاسخ به آسیب واردہ به سیستم عصبی مرکزی، اینترلوکین ۱ بتا (IL-1 β) و اینترلوکین ۶ (IL-6) افزایش می‌آید. در مطالعه بر روی موش‌های ماده تحت درمان با آستاگزانتین کاهش سطح سرمی IL-1 β مشاهده شده است (۱۱).

مطالعه حاضر با هدف ارزیابی اثر آنتی‌اکسیدانتی آستاگزانتین در تعديل پاسخ التهابی لنفوسيت‌های T خود واکنشگر و بررسی اثرات پیشگیرانه و درمانی آستاگزانتین در مدل حیوانی بیماری MS (EAE) شکل گرفته است. در مطالعه پیش‌رو القا دمیلیناسیون به‌روش EAE و تاثیرگذاری آستاگزانتین به‌صورت پیش درمان و درمان بر میزان سطوح سایتوکاین‌های پیش التهابی IL-6 و IL-1 β در سرم خون مورد بررسی قرار گرفت این تحقیق در آزمایشگاه تحقیقاتی بیومدیکال دانشگاه الزهرا و آزمایشگاه

انسفالومیلیت تجربی خودایمن (EAE) به‌عنوان مدل حیوانی بیماری MS (Multiple Sclerosis) در تحقیقات مورد استفاده قرار می‌گیرد. در بیماری MS و مدل تجربی آن (EAE)، پاسخ التهابی سلول‌های TCD4+ خودی عامل دمیلیناسیون سیستم اعصاب مرکزی و سبب ایجاد ناتوانی‌های نورولوژیک در افراد محسوب می‌شود (۱۲).

نتایج مطالعات بر روی مدل حیوانی EAE نشان داده است با انتقال سلول‌های Th1 فعال شده اختصاصی میلین به موش‌های سالم، سبب ابتلا به EAE می‌شود و سلول‌های TCD4+ نفوذ یافته در سیستم عصبی مرکزی Th1 سبب افزایش تولید سایتوکاین‌های سلول‌های Th1 نیز سبب می‌شوند (۳). سایتوکاین‌های سلول‌های Th1 نیز سبب فعال شدن ماکروفازها، در نتیجه تخریب میلین و آسیب میکروگلیا فعال شده انواعی از سایتوکاین‌ها از قبیل IL-6 و IL-1 را ترشح می‌کنند که مقادیر بالای این سایتوکاین‌ها ممکن است باعث آسیب رساندن به سایر الیگوڈنروسیت‌ها و نورونها شود (۴).

درمانهای رایج این بیماری عمدتاً شامل یکسری داروهای سرکوب یا تعديل کننده سیستم ایمنی می‌باشد که علاوه بر عوارض جانبی ناخواسته در دراز مدت با پیشرفت بیماری، کارایی درمانی خود را تا حدود زیادی از دست می‌دهند. از میان استراتژیهای درمانی که تا به حال برای بیماری MS معروف شده‌اند درمان‌های غیرتهاجمی مانند استفاده از داروهای آنتی‌اکسیدانت قدرتمند، جایگاه بزرگی را به‌خود اختصاص داده است. آستاگزانتین به‌عنوان یک ترکیب محلول در چربی می‌تواند به‌طور موثر از سد خونی مغزی عبور کند. همچنین یک ماده مغذی سالم بدون اثر سمیت می‌باشد (۵). آستاگزانتین به‌علت خاصیت آنتی‌اکسیدانتی قوی در حفاظت ترکیبات سلولی در مقابل آسیب اکسایشی

شد (۱۲). آستاگزانتین مصرف شده توسط بخش بیومدیکال دانشگاه الزهرا از جلبک *Haematococcus pluvialis* استخراج شده بود. به طور متوسط موش‌های C57BL/6 روزانه حدود ۰/۴ درصد خوراک مصرفی (پلت) (حدود ۴۰۰ mg/kg) آستاگزانتین دریافت می‌کردند و پلت‌ها در این مقدار آستاگزانتین غلطانیده می‌شد (۱۳ و ۱۴).

صرف آستاگزانتین مطابق با گروه‌بندی زیر صورت پذیرفت و کلیه درمانها تا ۳۵ روز (۵ هفته) پس از القا بیماری ادامه یافت: گروه کنترل سالم: گروهی که بیمار نشدنده و آب و غذای معمولی دریافت کرده و هیچ دارویی دریافت نکرده، گروه بیمار (EAE): گروهی که بیمار شدن ولی دارو (آستاگزانتین) دریافت نکرده، گروه تجربی پیشگیری: ۲۱ روز (سه هفته) قبل از القا بیماری و ایمونیزاسیون آستاگزانتین دریافت کرده و گروه تجربی درمانی: موش‌ها بعد از القا بیماری و با ارائه اولین علائم بیماری، آستاگزانتین را همراه با پلت مصرفی روزانه دریافت کردند.

بررسی روند تغییرات وزن و شدت علائم کلینیکی به صورت روزانه صورت گرفت. جهت ارزیابی شدت بیماری از سیستم نمره‌دهی هفتگانه مطابق جدول ۱ استفاده شد.

تحقیقاتی مجتمع زکریا رازی دانشگاه علوم تحقیقات تهران انجام گرفته است.

مواد و روش‌ها

تحقیق حاضر به روش تجربی و جامعه مورد بررسی شامل ۳۲ سر موش ماده C57BL/6 در محدوده سنی ۶ الی ۸ هفته‌ای از انتیتو پاستور تهران با میانگین وزنی ($17/62 \pm 0.46$ mg) گرم تهیه شد و در شرایط نور و رطوبت و دمای اپتیموم و مناسب در حیوانخانه دانشگاه علوم تحقیقات تهران نگهداری شدند. بروتکل این تحقیق براساس قوانین بین المللی در مورد EAE حیوانات آزمایشگاهی انجام شد. جهت القا بیماری Peptron، ۲۰۰ میکروگرم پپتید MOG₃₅₋₅₅ (شرکت South Korea) حل شده در ۱۰۰ میکرولیتر بافر فسفات سدیم (PBS) و ۱۰۰ میکرولیتر ادجوانت فروند کامل (شرکت Sigma، آمریکا) به صورت زیر جلدی در تاچیه پشتی - کمری به هر موش تزریق شد. سپس ۴۰۰ نانوگرم پرتوسیس توکسین به منظور افزایش نفوذپذیری سد خونی-مغزی (شرکت Sigma، آمریکا) در حجم ۳۰۰ میکرولیتر (PBS) حل شده و در روزهای صفر و ۴۸ ساعت بعد از ایمونیزاسیون به صورت داخل صفاقی تجویز

جدول ۱: علائم کلینیکی و درجه شدت بیماری در موش مدل (EAE)

درجه شدت بیماری	علائم و پی‌آمدها
صفر	عدم بروز بیماری
یک	شلی دم
دو	فالج شدن دم
سه	اختلال در راه رفتن
چهار	فلجی یک پا
پنج	فلجی دو پا
شش	فلجی چهار دست و پا
هفت	مرگ

خون گرفته شد. نمونه‌های خونی گرفته شده در دستگاه سانتریفیوژ یخچال دار ۱۰ دقیقه در ۲۰۰ g قرار داده شد تا سرم آن برای تکنیک الایزا جدا شود. بهمنظور تعیین سطح سایتوکاین ایترولوکین ۱ بتا (IL-1B) و IL-6 در

پنج هفته بعد از القا بیماری (روز سی و پنجم پس از ایمونیزاسیون با پپتید MOG35-55) موش‌ها تحت بیهوشی عمیق قرار گرفتند (کتامین ۱۰۰ mg/Kg و زیلازین ۱۰ mg/Kg داخل صفاقی ip). و از قلب آنها

فورمازون شد که با افزودن ۱۰۰ میکرولیتر DMSO به صورت محلول درآمد. شدت رنگ در طول موج ۴۹۰ نانومتر تعیین و شاخص تحریک به صورت زیر محاسبه شد.

$$\frac{OD_{\text{بلانک}} - OD_{\text{در حضور پیپتید}}}{OD_{\text{بلانک}} - OD_{\text{در عدم حضور پیپتید}}} = \text{شاخص تحریک}$$

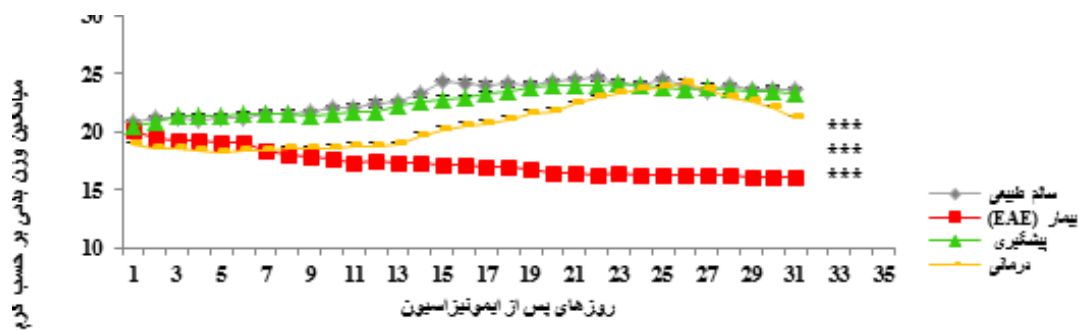
جهت مطالعات نوروپاتولوژیک با رنگ آمیزی ایمونوهیستوشیمی نیز پس از بیهوشی موش‌ها به صورت داخل صفاقی ip با کتامین و زایلازین به نسبت ۳:۱ اقدام به برداشتن نخاع کرده، نخاع را وارد فالکون‌های مناسب حجمی حاوی فرمالین ۱۰ درصد نموده و سپس جهت آبگیری و قالب‌گیری با پارافین و برش‌گیری آماده نموده، سپس به منظور پارافین‌زدایی و آبگیری در گریلن و بعد کل قرار داده می‌شود، لامها به مدت ۱۵ دقیقه در بافر سیترات و ماکرووبو قرار گرفته، سپس جهت بلاک فعالیت پراکسیداز اندوژنز از محلول H_2O_2 در متانول استفاده می‌شود (سویسترای اختصاصی). آنتی‌بادی CD4 کنژوگه به عنوان Ab اولیه (Primary Ab) به اسلامیدهای درون هر جار اضافه می‌شود. سپس لامها آبگیری و در الكل ۹۵ و ۱۰۰ درصد قرار گرفته و با گزینن تمیز و لامل بر روی لام چسبانده می‌شود. جهت بررسی ارتتاح التهابی، تعداد CD4‌های ارتتاح یافته رنگ‌آمیزی شده با آنتی‌بادی CD4 در نخاع، در سه مقطع برای هر نمونه شمرده و میانگین هر یک محاسبه شد. تصاویر با میکروسکوپ Olympus BX51 و دوربین Olympus DP70 و نرم‌افزار Olysys Bioreport software version 3.2 مورد بررسی و آنالیز قرار گرفت.

آنالیز آماری

بررسی‌های آماری در محیط نرم افزاری SPSS ویراست ۲۱ انجام شد، برای ترسیم نمودارها از نرم افزار Microsoft Excel نسخه ۲۰۱۰ استفاده شد. داده‌ها به صورت Mean \pm SEM گزارش شد. جهت مقایسه میانگین شدت بیماری از روش غیرپارامتریک Mann

سرم به ترتیب از کیت الایزا (Abcam، آمریکا) و eBioscience, Inc., USA) مطابق با پروتکل شرکت سازنده استفاده شد. برای هر نمونه دو خانه (کنترل سالم، گروه بیمار و گروههای تجربی) در نظر گرفته شد و یک جفت خانه به عنوان شاهد Blank و هفت جفت خانه نیز برای نمونه استاندارد در نظر گرفته شد. نتایج در طول موج ۴۵۰ نانومتر توسط ELISA Reader خوانده شد. داده‌ها بعد از تهیه نمودار استاندارد، برای تعیین غلظت سایتوکاین مورد ارزیابی قرار گرفت میزان تکثیر سلولهای ایمنی با متد MTT ارزیابی شد. به همین منظور پنج هفته بعد از القا بیماری موشها و پس از بیهوشی عمیق بدون اتفاق وقت طحال موشها تحت شرایط استریل خارج و بعد از قطعه شدن در ۲ml محیط کشت RPMI-1640 حاوی ۱۰ درصد FBS له شده و جهت تهیه سوسپانسیون سلولی از توری سیمی به قطر ۰/۲ میلی‌متر عبور داده شدند. به مدت ۱۰ دقیقه در ۲۰۰ سوسپانسیون سلولی سانتریفیوژ شد. به منظور حذف گویچه‌های سرخ، به رسوب سلولی ۵ میلی‌لیتر بافر لیز کننده افزوده شد. بعد از ۵ دقیقه ضمن افزودن ۱۰ میلی‌لیتر محیط کشت نمونه‌ها باز دیگر سانتریفیوژ تکرار شد. رسوب سلولی در محیط کشت RPMI-1640 حاوی ۱۰ درصد FBS به صورت سوسپانسیون در آورده شد. پس از فرآیند شمارش سلول‌ها به سیله روش رنگ‌آمیزی با تریپان بلو، سوسپانسیونی حاوی 1×10^7 cell/ml و ۱ml از آن در هر یک از چاهکهای پلیت ۹۶ خانه‌ای ته تخت ریخته شد. برای هر نمونه سه تکرار بدون حضور پادگن و سه تکرار در حضور $50 \mu\text{g}/\text{ml}$ از پیپتید MOG₃₅₋₅₅ در نظر گرفته شد. به عنوان بلاک نیز در سه چاهک از محیط کشت RPMI-1640 استفاده شد. بعد از ۷۲ ساعت گرم خانه‌گذاری در انکوباتور حاوی ۵ درصد CO₂ به هر چاهک ۱ml ۲۵ mg/ml MTT محلول در PBS افزوده شده، به مدت ۴ ساعت دیگر گرم خانه‌گذاری شد. در این مدت احیا ماده MTT توسط سلولهای زنده و در حال تکثیر سبب تشکیل کریستال‌های

آستاگزانتین کاهش چشمگیری داشته است. در گروه درمانی دریافت کننده آستاگزانتین پس از ایمونیزاسیون اندکی کاهش وزن مشاهده می شود ولی پس از مدت کوتاهی افزایش وزن در مoshهای گروه دریافت کننده آستاگزانتین مشاهده می شود. این افزایش وزن در تمامی گروهای دریافت کننده آستاگزانتین (هم پیشگیری و هم درمانی) مانند گروه سالم طبیعی نسبت به تغییرات میانگین وزن بدن در مoshهای گروه EAE بدون درمان اختلاف معنی داری در سطح $p < 0.0001$ را نشان می دهد (نمودار ۱).



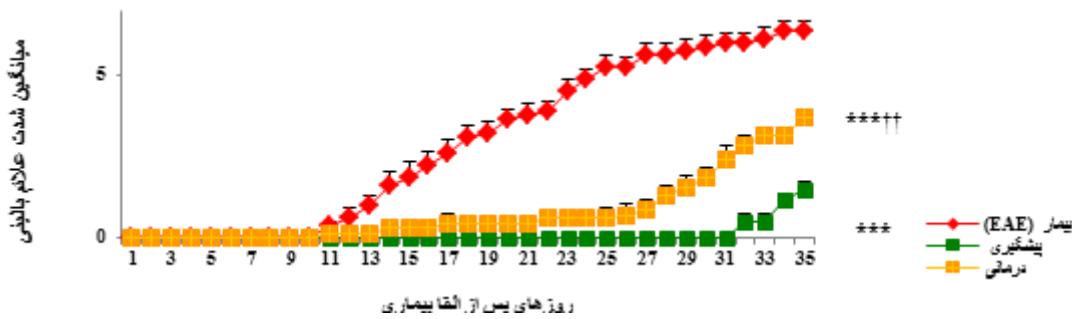
Whitney-U و جهت مقایسه میانگین وزن، میزان تکثیر لنفوسيتها، سطح سایتوکاين ها و تعداد سلولهای لکوسیتی ارتشاج یافته در بافت نخاع از آزمون آنالیز واریانس يکطرفه و Tukey's test استفاده شد. در تمام بررسی ها $p < 0.05$ به عنوان سطح معنیدار در نظر گرفته شد.

نتایج

بررسی تغییرات میانگین وزن در بین گروههای تحت مطالعه نشان داد که میانگین وزن گروه EAE پس از ایمونیزاسیون نسبت به گروههای دریافت کننده

میانگین شدت بیماری در گروه پیشگیری که سه هفته قبل از ایمونیزاسیون آستاگزانتین مصرف کرده بودند نسبت به گروه درمانی در سطح $p < 0.0001$ کاهش یافته بود (نمودار ۲).

نتایج میانگین شدت بیماری نشان می دهد شدت علائم بالینی در طول مدت مطالعه در گروههای دریافت کننده آستاگزانتین (پیشگیری و درمان) نسبت به گروه بیمار EAE کاهش معنی داری داشته است ($p < 0.0001$).



نمودار ۲: تغییرات میانگین شدت علائم بیماری پس از القا EAE: میانگین شدت علائم بیماری در تمامی گروههای تجربی (پیشگیری و درمان) نسبت به گروه Moshهای بیمار (EAE) کاهش معنی داری یافته است ($***P < 0.0001, n=8$). همچنین میانگین شدت علائم بیماری در گروه بیماری در مoshهای درمانی در مقایسه با گروه پیشگیری افزایش معنی داری یافته است ($* P < 0.001$) (* ارائه دهنده اختلاف معنی دار با گروه EAE و + نشان دهنده اختلاف معنی دار با گروه پیشگیری)

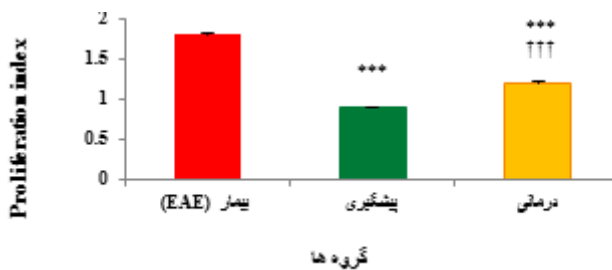
شروع شد. در گروه پیشگیری که از ۳ هفته قبل از ایمونیزاسیون آستاگزانتین دریافت کرده بودند اولین علائم

میزان بروز و شیوع بیماری در گروه بیمار بدون درمان EAE و گروه درمانی از روز یازدهم پس از ایمونیزاسیون

معنی دار در تمامی گروه های تجربی پیشگیری و درمانی نسبت به گروه EAE در سطح $p<0.0001$ مشاهده شد. همچنین کاهش معنی دار تکثیر لنفوسيتی در گروه پیشگیری در مقایسه با گروه درمانی در سطح $p<0.0001$ دیده شد. مقادیر تکثیر لنفوسيت ها بوسیله شاخص تحریکی ارائه شده است (نمودار ۳).

بالینی خفیف و از روز ۳۲ ام پس از القای بیماری قابل مشاهده بود.

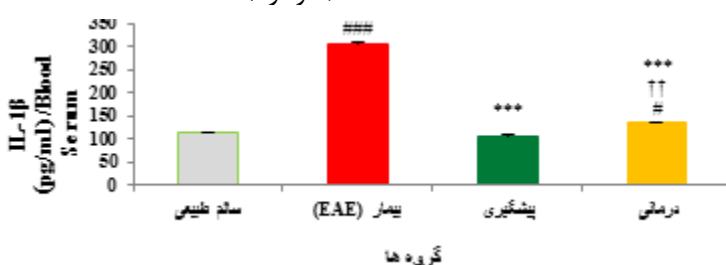
نتایج تست MTT حاکی از کاهش معنی دار تکثیر لنفوسيتی در گروه های پیشگیری و درمانی موش های EAE دریافت کننده آستاگزانتین در مقایسه با گروه بدون درمان، در پی تحریک مجدد لنفوسيت های طحال با پیتید MOG در محیط کشت می باشد. این اختلاف



نمودار ۳: بررسی میزان تکثیر لنفوسيت ها با روش MTT ۳۵ روز پس از القا EAE: میزان تکثیر لنفوسيت ها که به وسیله سطح در تمامی گروه های تجربی دریافت کننده آستاگزانتین (پیشگیری و درمان) نسبت به گروه موش های بیمار (EAE) کاهش معنی داری در $p<0.0001$ نشان دادند، همچنین این شاخص در گروه درمانی نسبت به گروه EAE افزایش معنی داری ارائه داد ($*\dagger\dagger p<0.0001$) (※ نشان دهنده اختلاف معنی دار با گروه EAE و † نشان دهنده اختلاف معنی دار با گروه پیشگیری).

معنی داری یافته ($p<0.05$)، همچنین سطح سرمی سایتوکاین IL-1 β در گروه های پیشگیری و درمانی نیز نسبت به گروه پیشگیری در سطح $p<0.001$ افزایش یافته است. و سطح سرمی IL-1 β در گروه EAE نیز نسبت به گروه کنترل سالم افزایش معنی داری را نشان می دهد ($p<0.0001$). (نمودار ۴).

سطوح سرمی سایتوکاین IL-1 β در گروه های پیشگیری و تحت درمان که آستاگزانتین دریافت کرده بودند در قیاس با سطح سرمی IL-1 β در گروه EAE کاهش معنی داری یافته است ($p<0.0001$). سطح سرمی سایتوکاین IL-1 β در گروه درمانی در قیاس با گروه کنترل سالم افزایش



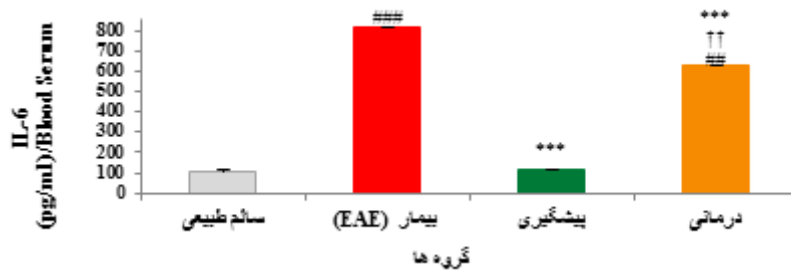
نمودار ۴: بررسی مقایسه ای سطح سرمی سایتوکاین پیش التهابی IL-1 β در موش های C57BL/6. ۳۵ روز پس از القا EAE: سطح IL-1 β در تمامی گروه های تجربی دریافت کننده آستاگزانتین (پیشگیری و درمان) در مقایسه با سطح EAE کاهش معنی داری را در سطح $p<0.0001$ ارائه می دهد. سطح IL-1 β در گروه درمانی نیز نسبت به گروه پیشگیری افزایش معنی داری یافته است ($*\dagger p<0.001$) همچنین سطح سرمی سایتوکاین IL-1 β در گروه بیمار EAE و گروه درمانی نسبت به گروه کنترل طبیعی افزایش معنی داری در سطح $p<0.05$, # نشان می دهد (* ارائه دهنده اختلاف معنی دار با گروه EAE و # نشان دهنده اختلاف معنی دار با گروه کنترل طبیعی، † نشان دهنده اختلاف معنی دار با گروه پیشگیری، n=8).

نسبت به گروه EAE نشان می دهد ($p<0.0001$). در صورتی که سطح سایتوکاین IL-6 در گروه EAE در

سطوح سرمی سایتوکاین IL-6 در گروه های پیشگیری و درمانی دریافت کننده آستاگزانتین کاهش معنی داری

سالم افزایش معنی‌داری را نشان می‌دهد ($p < 0.0001$). از سوی دیگر سطح سرمی IL-6 در گروه پیشگیری در مقایسه با گروه بیمار از اختلاف معنی‌داری در سطح افزایش معنی‌داری یافته است ($p < 0.001$) و سطح سرمی IL-6 در گروه EAE نیز نسبت به گروه کنترل

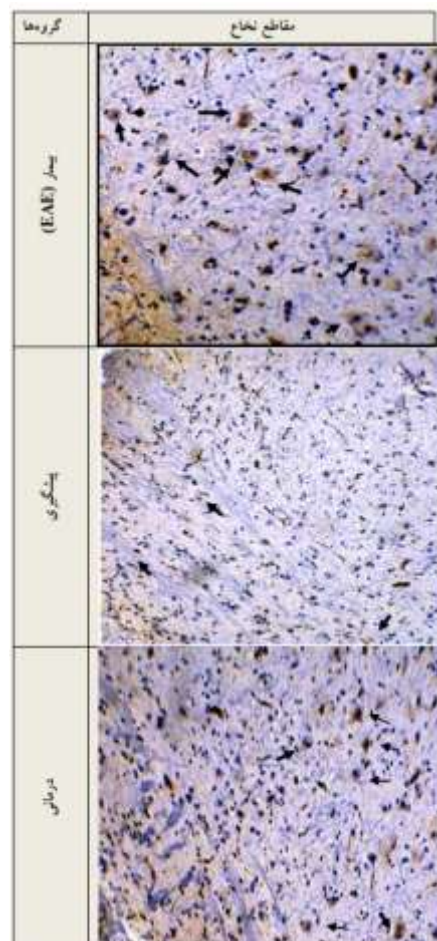
مقایسه با گروه کنترل سالم و همچنین سطوح IL-6 در گروه درمانی نسبت به گروه موش‌های کنترل سالم افزایش معنی‌داری یافته است ($p < 0.001$) و سطح سرمی IL-6 در گروه EAE نیز نسبت به گروه کنترل



نمودار ۵: بررسی مقایسه‌ای سطح سرمی اینترلوکین پیش التهابی IL-6: در موش‌های C57BL/6 ۳۵ روز پس از القا EAE: سطح اینترلوکین IL-6 در موش‌های گروه پیشگیری و درمانی نسبت به گروه بیمار EAE کاهش معنی‌دار یافته است ($p < 0.0001$) سطح IL-6 در گروه درمانی نیز نسبت به گروه پیشگیری افزایش معنی‌داری یافته است ($p < 0.001$). سطح سایتوکاین IL-6 در گروه بیمار EAE و گروه درمانی نسبت به گروه موش‌های سالم افزایش معنی‌داری یافته اند ($p < 0.0001$, $p < 0.001$). * ارائه دهنده اختلاف معنی‌دار با گروه بیمار EAE و # نشان دهنده اختلاف معنی‌دار با گروه کنترل سالم طبیعی, ** نشان دهنده اختلاف معنی‌دار با گروه پیشگیری, n=8.

قیاس با گروه بیمار EAE کاهش چشمگیری یافته است
($p < 0.0001$).

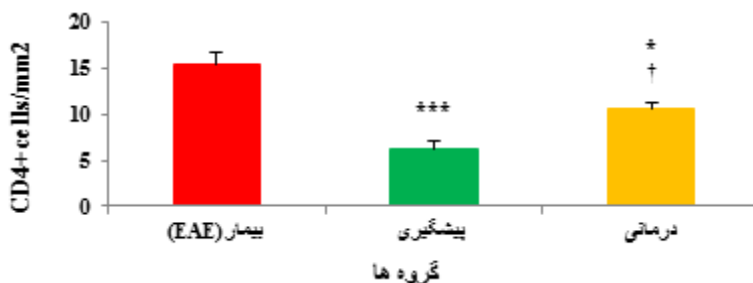
میزان ارتشاح CD4 در مقاطع نخاع گروه پیشگیری در



شکل ۱: مطالعات ایمونوهیستوشیمی اثرات پیشگیرانه و درمانی آستاگزانتین بر بافت نخاعی موش ماده C57BL/6 مدل EAE: تصاویر بالا رنگ‌آمیزی ایمونوهیستوشیمیایی بافت نخاع با آنتی‌بادی CD4 بر علیه مولکول‌های سطحی سلول CD4 را ارائه می‌دهد. رنگ آمیزی ایمونوهیستوشیمیایی نشان داد که زیرمجموعه‌های لنفوسيتی به داخل نخاع موش القا شده EAE نفوذ کرده اند، ولی مصرف آستاگزانتین در گروه‌های تجربی باعث کاهش دانسته CD4 در نخاع موش‌های گروه پیشگیری و درمانی (بهخصوص موش‌های گروه پیشگیری) در مقایسه با موش‌های بیمار EAE شده است. پیکان‌ها سلول‌های احتمالی CD4 رنگ آمیزی شده با آنتی‌بادی CD4 را نشان می‌دهند اطراف این سلولها هاله قهوه‌ای رنگ مشاهده می‌شود (برگنمایی $\times 100$)

CD4⁺ در مقاطع بافت نخاع گروه پیشگیری نسبت به گروه درمانی در سطح p<0.05 مشاهده می شود (نمودار ۶).

نفوذ CD4 در مقاطع بافت نخاعی گروه درمانی نیز در سطح p<0.05 نسبت به گروه EAE کاهش یافته و بین دو گروه پیشگیری و درمانی نیز اختلاف معنی داری مشاهده می شود به طوری که اختلاف در مقادیر ارتشاج



نمودار ۶. تعداد CD4⁺ ارتشاج یافته در بافت نخاع موش های گروه بیمار (EAE) و گروه های تجربی دریافت کننده آستاگزانتین: در تمامی گروه های تجربی دریافت کننده آستاگزانتین (پیشگیری و درمان) ارتشاج CD4⁺ کاهش چشمگیری نسبت به گروه EAE نشان می دهد (p<0.0001) و تعداد CD4⁺ در بافت نخاعی موش های گروه پیشگیری نیز نسبت به گروه درمانی کاهش معنی داری در سطح P<0.05 ارائه داد (* ارائه دهنده اختلاف معنی دار با گروه پیشگیری, n=8).

مدولاتوری سیستم ایمنی این مولکول را توجیه کرد.

آستاگزانتین می تواند از سد خونی-مغزی عبور کرده و سبب استحکام غشا سلولی شود (۱۷). مولکول آستاگزانتین دارای گروه کتونی و هیدروکسیلی بوده که

در دو انتهای مولکول آستاگزانتین قرار دارد و به زنجیره پلی ان (پیوند دو گانه) در مرکز مولکول مزدوج شده است. گروه های هیدروکسیلی در بخش لیپیدی غشا دو لایه ای نفوذ کرده و در ناحیه مجاور به بخش لیپیدی در فاز مایع قرار میگیرند، در نتیجه منجر به کاهش سیالیت غشا شده و یکپارچگی و تمامیت غشا و متعاقب آن، ساختار و عملکرد غشا حفظ می شود. حضور آستاگزانتین و نفوذ آن در BBB به خصوص پیش از القا بیماری EAE، این استحکام و حفظ یکپارچگی و تمامیت غشا را تشديد نموده، در نتیجه نفوذ سلول های ایمنی به داخل CNS کاهش میابد (۱۸).

در این مطالعه ما اثرات پیشگیرانه و درمانی آستاگزانتین را بر روی علائم نورولوژیکی و شدت بیماری و نقش حفاظتی آن در سطح مولکولی و ایمونوهیستوشیمی را بررسی شد. گروه های تجربی دریافت کننده آستاگزانتین (پیشگیری و درمانی) نسبت به گروه بیمار کاهش وزن

بحث

تاکنون مطالعات بالینی درک توسعه یافته ای از پاتوفیزیولوژی MS ارائه داده است. پاسخ ها و واکنش های التهابی متفاوتی در پاتوژنی این بیماری گزارش شده است، واکنش آنتی بادی ها، دمیلینه شدن آکسون ها و اثرات سلول های CD4⁺ در خود ایمنی سیستم عصبی مرکزی مشاهده شده اند. با استفاده از مدل های تجربی ثابت شد سلول های CD4⁺ موجب آسیب در سیستم عصبی مرکزی می شود و نقش سایتوکاین های التهابی قابل مشاهده می باشد (۱۵).

در مطالعه پیش رو آستاگزانتین به عنوان یک آنتی اکسیدانت قدرتمند در نظر گرفته شده است که از گسترش بیماری EAE به عنوان مدل مورد مطالعه MS جلوگیری کرده است. طبق گزارشات ثبت شده کاروتونوئید آستاگزانتین دارای فعالیت آنتی اکسیدانتی بسیار قوی می باشد (۱۶) و بر روی سلامتی انسان تاثیر بهسزایی داشته و از اهمیت ویژه ای برخوردار است، چرا که بر خلاف دیگر آنتی اکسیدانت ها، آستاگزانتین مواد اکسیدانتی مضر برای بدن تولید نمی کند (۵). با مطالعه ساختار آستاگزانتین می توان فعالیت آنتی اکسیدانتی، ضد التهابی و

نقش IL-1 β به عنوان سایتوکاین پیشالتهابی که توسط مونوسیت و ماکروفازها و سلول‌های B و T و در سیستم عصبی مرکزی در طول القا EAE، تنظیم می‌شود ثابت شده است و همچنین سبب آپوپتوزیس سلول‌های عصبی می‌شود (۲۱). آستاگزانتین همچنین به وسیله اثر تنظیم کنندگی و کاهنده‌گی بر سایتوکاین‌های التهابی سبب حفظ یکپارچگی و تمامیت سد خونی مغزی می‌شود و مانع نفوذ سلول‌های ایمنی به سیستم عصبی مرکزی می‌شود. از طرفی سایتوکاین‌ها به مانند سایر پروتئین‌های سیگنالی، نقش مهمی در تنظیم پاسخ ایمنی در مدل EAE بر عهده دارند (۲۲). مشخص شده است سایتوکاین‌های Th1 در پیشرفت بیماری نقش داشته است (۲۳). نتایج مطالعه‌ای در شرایط *in vitro* نشان می‌دهد که آستاگزانتین پاسخ سلول‌های ایمنی لنفوسيتی و تولید سایتوکاین‌های Th1 را تنظیم و تعديل می‌کند (۲۴).

گزارش‌های دیگری حاکی از افزایش تولید IL-6 در مرحله پیشرفت و گسترش بیماری MS بوده است (۲۵) که به وسیله اثر تخریبی بر BBB، باعث دمیلینه شدن و التهاب عصبی می‌شود (۲۶). مطالعات Ying و همکاران (۱۰) نشان می‌دهد که آستاگزانتین به سهولت از سد خونی مغزی عبور کرده و این امر سبب می‌شود این کارو-تئوئید بتواند سیستم اعصاب مرکزی را در برابر آسیب‌های مزمن و حاد تخریب نورونی محافظت کند. به نظر می‌رسد فعالیت‌های آنتی‌اکسیدانتی و ضدالتهابی و سایر اثرات بیولوژیک بالقوه آستاگزانتین در محافظت نورونی نقش داشته باشد. در واکنش به آسیب‌های وارد بر سیستم عصبی، سطح برخی از سایتوکاین‌های التهابی در خون افزایش می‌یابد و چندین واکنش دفاعی مانند فعال شدن محور هیپوتalamوس-هیپوفیز-آدرنال رخ می‌دهد. Ballesti و همکاران (۲۷) اثر آستاگزانتین را در روند پیری وابسته به جنسیت بررسی کردند و گزارش کردند پس از مصرف آستاگزانتین، سایتوکاین‌های ضد

اندکی را بعد از القا بیماری ارائه دادند. همچنین شدت بیماری در هر دو گروه تجربی دریافت کننده آستاگزانتین (پیشگیری و درمانی) نسبت به گروه EAE کاهش معنی‌داری یافته بود. از طرفی مصرف آستاگزانتین در گروه‌های تجربی (پیشگیری و درمانی) سبب کاهش سطوح سایتوکاین‌های پیشالتهابی اینترلوکین یک بتا (IL-1 β) و اینترلوکین ۶ (IL-6) در سرم خون موش‌های القا شده EAE شده است. شدت بیماری و سطوح سایتوکاین‌های پیشالتهابی IL-1 β و IL-6 در سرم خون موشهای گروه پیشگیری نسبت به گروه درمانی کاهش معنی‌داری یافته بود. میزان تکثیر لنفوسيت‌ها که به وسیله Proliferation index ارائه می‌شود نیز در گروه‌های تجربی دریافت کننده آستاگزانتین (پیشگیری و درمانی) در قیاس با گروه بیمار EAE کاهش یافته بود و مقادیر تکثیر لنفوسيت‌ها در گروه پیشگیری نیز اختلاف معنی‌داری نسبت به گروه درمانی نشان داد. مطالعات ایمونوهیستوشیمی بافت نخاع نیز کاهش نفوذ سلول‌های ایمنی و ارتashان لنفوسيت TCD4 $^{+}$ را در هر دو گروه تجربی پیشگیری و درمانی نسبت به گروه EAE به نمایش گذاشت و این کاهش نفوذ CD4 $^{+}$ در بافت نخاعی گروه پیشگیری نسبت به گروه درمانی چشمگیر بوده است، در صورتی که توقع می‌رفت در طی روند التهاب، نفوذ پذیری سد خونی-مغزی افزایش یافته باشد.

در واکنش‌های التهابی سطح سایتوکاین‌های التهابی در سرم خون افزایش می‌یابد مطالعات پیشین نقش IL-1 β و IL-6 را در تشديد علائم و بروز ضایعات در بیماری MS به اثبات رسانیده‌اند (۲۰ و ۲۱). طی تحقیقاتی که بر روی موش مدل MS انجام شد، به نقش موثر IL-6 اشاره شد، به طوریکه آنتی‌بادی‌های مخصوص IL-6 در کاهش اثرات EAE در موش موثر بوده و انتقال سیگنال از طریق باند شدن با گیرنده IL6 در غشا سلول امکان‌پذیر می‌باشد (۲۲).

سایتوکاین‌های التهابی می‌شود (۳۰). مکانیسم مهم دیگر، نفوذ آستاگزانتین در سد خونی-مغزی و ایجاد استحکام و حفظ یکپارچگی و تمامیت غشا می‌باشد در نتیجه منجر به کاهش نفوذ سلول‌های ایمنی به داخل سیستم اعصاب مرکزی می‌شود (۱۸ و ۵).

آستاگزانتین به سهولت از سد خونی-مغزی عبور کرده و سیستم اعصاب مرکزی را در برابر آسیب‌های مزمن و حاد تخریب سلولهای عصبی محافظت می‌کند. همه این مکانیسم‌ها و فعالیت‌های آنتی‌اکسیدانتی و ضدالتهابی آستاگزانتین در محافظت نورونی نقش بهسزایی خواهد داشت (۱۰).

در مطالعه کنونی نیز کاهش سطح IL-6 و IL-1 β در گروه‌های تجربی دریافت کننده آستاگزانتین (گروه‌های EAE پیشگیری و درمانی) در مقایسه با گروه موش‌های EAE بدون درمان منعکس کننده اثرات آستاگزانتین بر حفظ یکپارچگی سد خونی-مغزی است که مانع پیشرفت التهاب و کاهش آن می‌شود. تکثیر سلول‌های لنفوцитی که به‌وسیله شاخص تحریکی ارائه شده است در تمامی گروه‌های تجربی دریافت کننده آستاگزانتین (گروه‌های EAE پیشگیری و درمانی) در قیاس با گروه موش‌های EAE بدون درمان کاهش یافته است.

اگرچه تاکنون مکانیسم عملکرد گیرنده‌های مداخله کننده در این زمینه به اثبات نرسیده است اما نقش تحریک سلول‌های ایمنی لنفوцитی در این زمینه کاملاً مبرهن و واضح می‌باشد. در واقع توانایی آستاگزانتین در تنظیم کاهشی، تکثیر لنفوцит‌های T تحریک شده با پروتئین MOG35-55 که یک فاکتور مهم در پاتوژن بیماری است را کاهش می‌دهد (۲۴).

در مطالعه مشابه دیگری ارزیابی و مقایسه سایتوکاین‌های التهابی و ضدالتهابی بهدست آمده از کشت سلولهای طحال موش‌های مدل MS پیش درمان شده با آستاگزانتین نشان داد که روند التهاب کاهش یافته است (۳۱).

التهابی باعث توقف عملکرد عوامل التهابی می‌شود. این عوامل نقش مهمی در بروز پاسخ‌های التهابی و ایمنی دارد بهطوریکه در مoshهای دریافت کننده آستاگزانتین میزان IL-1 β در هر دو ناحیه مغزی و مخچه‌ای کاهش معنی‌داری یافته است.

گزارش‌های فوق‌الذکر با یافته‌های بهدست آمده از این مطالعه مطابقت داشته بطوریکه سطوح سایتوکاین‌های التهابی IL-1 β و IL-6 در گروه EAE افزایش یافته و در گروه‌های دریافت کننده آستاگزانتین میزان سطح این سایتوکاین‌های التهابی کاهش یافت. مشاهدات Zhou و همکاران (۲۸)، تاثیر آستاگزانتین بر افسردگی ناشی از دیابت را در مoshهای مدل دیابت ارائه و گزارش کردند آستاگزانتین بیان IL-6 و IL-1 β در هیپوکامپ را کاهش داده است. مکانیسم عمل آستاگزانتین بر روی مهار التهاب بوده و از این طریق می‌توانند نورونهای هیپوکامپ و آمیگدال و هیپوپalamوس را در برابر آسیب هایپرگلاسیمیک محافظت نمایند.

در مطالعات ایمونوهیستوشیمی تحقیق پیشرو در گروه‌های تجربی دریافت کننده آستاگزانتین میزان ارتشاج سلولهای التهابی CD4 $^{+}$ به بافت نخاعی نسبت به گروه بیمار کاهش چشمگیری یافت. این امر به خصوص در گروه پیشگیری نمود واضحی داشت.

یکی از مکانیسم‌های پیشنهادی جهت تاثیر آستاگزانتین بر روی رشد و تمایز سلول‌های عصبی و نوروژن اشاره بر تنظیم سیگنال ERK می‌باشد. سیگنال ERK بر (Mitogen-activated protein kinase) MAPKs (پروتئین کیناز فعال شده با میتوژن) تاثیر گذاشته و از آنجاکه MAPKs در واکنش‌های سلولی نسبت به سایتوکاین‌های التهابی مداخله کرده در نهایت منجر به تنظیم عملکرد سلولی، بیان ژن، تکثیر، تمایز و بقا سلولی و آپوپتوزیس می‌شود (۲۹)، آستاگزانتین همچنین با سرکوب گونه‌های اکسیژن فعال (ROS)، القا کننده بیان هسته‌ای NF- κ B، سبب کاهش تولید

سیستم عصبی مرکزی مطالعه کلینیکی بیشتری را می- طلبند.

تشکر و قدردانی

نویسنده‌گان این مقاله بدین وسیله از جناب آقای دکتر توانگر پاتوبیولوژیست و عضو هیات علمی علوم پزشکی تهران که در مطالعات بخش هیستوپاتولوژی و ایمونوهیستوپاتولوژی صمیمانه راهنمایی و همراهی فرمودند و همچنین از بخش بیومدیکال دانشگاه الزهرا و مجتمع زکریای رازی دانشگاه علوم تحقیقات تهران قدردانی و سپاسگزاری می‌نمایند.

منابع

1. Lennart TM, Philippe Saikali; Roland S. Liblau, Nathalie Arbour Contribution of CD8+ Lymphocytes to the immune-pathogenesis of multiple sclerosis and its animal models. 2011; 1812: 151-161.
2. Garson JA, Huggett JF, Bustin SA, Pfaffl MW, Benes V, Vandesompele J, Shipley GL. Unreliable real-time PCR analysis of human endogenous retrovirus-W (HERV-W) RNA expression and DNA copy number in multiple sclerosis. AIDS Res Hum Retroviruses. 2009; 25: 377-378.
3. Raphael I, Nalawade S, Eagar TN, Forsthuber TG. T cell subsets and their signature cytokines in autoimmune and inflammatory diseases. Cytokine, 2015; 74(1): 5-17.
4. Yadav SK, Mindur JE, Ito K, Dhib-Jalbut S. Advances in the immunopathogenesis of multiple sclerosis. Curr Opin Neurol. 2015; 28(3): 206-19.
5. Ranga Rao A, Phang SM, Ravi S, Aswathanarayana RG. Astaxanthin: Sources, extraction, stability, biological activities and its commercial applications—A review. Mar. Drugs. 2014; 12(1): 128-152.

با توجه به مطالب فوق می‌توان اثرات کاهش شدت التهاب ناشی از تجویز آستاگرانتین را در موش‌های مدل EAE، در گروه‌های پیشگیری و درمانی، به نحوه عملکرد آستاگرانتین به‌منظور حفظ تمامیت و یکپارچگی غشا در سد خونی مغزی سیستم عصبی مرکزی و اثرات آنتی‌اکسیدانتی و ضدالتهابی آن نسبت داد. تاثیر آستاگرانتین در ایجاد کاهش سیالیت غشا و حفظ یکپارچگی و تمامیت غشا و حفظ ساختار و عملکرد صحیح غشا و حضور آستاگرانتین و نفوذ آن در سد خونی-مغزی به‌خصوص پیش از القا بیماری EAE، سبب شده است علائم و شدت بیماری در گروه پیشگیری تخفیف یافته، در نتیجه نفوذ سلول‌های التهابی به داخل سیستم اعصاب مرکزی در این گروه نسبت به گروه درمانی کاهش یافته و اثرات بهبود دهنده به‌وضوح مشاهده می‌شود.

با توجه به داده‌های به‌دست آمده و مدارک می‌توان امیدوار بود آستاگرانتین به‌عنوان یک مکمل خوراکی نقش موثری در پیشگیری، التیام و کاهش التهاب و تخریب نورونی ناشی از ابتلا به بیماری مالتیپل اسکلروزیس داشته باشد.

نتیجه‌گیری

آستاگرانتین به‌عنوان یک فاکتور آنتی‌اکسیدانتی، ضدالتهابی قوی، بدون اثر سمی و به‌عنوان یک ترکیب محلول در چربی قادر است به‌طور موثر از سد خونی مغزی عبور کند. سایتوکاین‌ها مانند بعضی پروتئین‌های سیگنالی، نقش مهمی در تنظیم و تعدیل پاسخ ایمنی در مدل MS (EAE) بر عهده دارند. آستاگرانتین با تاثیر تنظیم کننده‌گی و کاهنده‌گی بر سطوح سایتوکاین‌های التهابی سبب حفظ یکپارچگی و تمامیت سد خونی مغزی شده و مانع نفوذ سلول‌های ایمنی به سیستم عصبی مرکزی می‌گردد. علیرغم مشاهده کاهش سطح سایتوکاین‌های التهابی و کاهش ارتشاراج $CD4^+$ در بافت نخاع موشهای دریافت کننده آستاگرانتین به‌خصوص در گروه پیشگیری، مصرف مکملی یا دارویی آستاگرانتین جهت پیشگیری و درمان بیماری مالتیپل اسکلروزیس و کاهش اثرات التهابی و تخریبی بر

6. Kistler A. Metabolism and CYP-inducer properties of astaxanthin in man and primary human hepatocytes, *Arch. Toxicol.* 2002; 75(11-12): 665-675.
7. Bennedsen M, Wang X, Willen R, Wadstrom T, Andersen LP. Treatment of *H. pylori* infected mice with antioxidant astaxanthin reduces gastric inflammation, bacterial load and modulates cytokine release by splenocytes. *Immunol. Lett.* 1999; 70(3): 185-189.
8. Tso MOM, Lam TT. Method of Retarding and Ameliorating Central Nervous System and Eye Damage. U.S. Patent. 1996; 5: 527-533.
9. Boussiba S, Bing W, Yuan J-P, Zarka A, et al. Changes in pigments profile in the green alga *Haematococcus pluvialis* exposed to environmental stresses. *Biotechnol Lett.* 1999; 21(7): 601-4.
10. Ying Cj, Zhang F, Zhou Xy, Hu Xt, et al. Anti-inflammatory Effect of Astaxanthin on the Sickness Behavior Induced by Diabetes Mellitus. *Cell Mol Neurobiol.* 2015; 35(7).
11. Balietti M, Giannubilo SR, Giorgetti B, Solazzi M, Turi A, et al. The effect of astaxanthin on the aging rat brain: gender-related differences in modulating inflammation. *J Sci Food Agric.* 2016; 96(2): 615-8.
12. Mosayebi G, Moazzeni S M, Sanati M H. Effect of sex on susceptibility to experimental autoimmune encephalomyelitis induced with MOG35-55 peptide in C57BL/6 Mice. *Medical Journal of Tabriz Univ of Med Sci* 2006; 27(4): 95-100[Persian].
13. Chew BP, Park JS. Carotenoid action on the immune response. *J. Nutr.* 2004; 134: 257S-261S.
14. Yuri T, Yoshizawa K, Emoto Y, Kinoshita Y, et al. Effects of Dietary Xanthophylls, Canthaxanthin and Astaxanthin on N-Methyl-N-nitrosourea-induced Rat Mammary Carcinogenesis. In Vivo. 2016; 11-12; 30(6): 795-800.
15. Stromnes IM, Goverman JM. Passive induction of experimental allergic encephalomyelitis. *Nat Protoc.* 2006; 1(4): 1952-60.
16. Guerin M, Mark E. Huntley and Miguel Olaizola, *Haematococcus astaxanthin: applications for human health and nutrition. Trends Biotechnol.* 2003; 21(5): 210-216.
17. Sarada R, Vidhyavathi R, Usha D, Ravishankar GA. An Efficient Method for Extraction of Astaxanthin from Green Alga *Haematococcus pluvialis*. *J. Agric. Food Chem.* 2006; 54(20): 7585-7588.
18. Barros MP, Pinto E, Colepicolo P, Pedersen M. Astaxanthin and peridinin inhibit oxidative damage in Fe²⁺-loaded liposomes: scavenging oxyradicals or changing membrane permeability? *Biochem Biophys Res Comm.* 2001; 288(1): 225-32.
19. Gold R, Linington C, Lassmann H. Understanding pathogenesis and therapy of multiple sclerosis via animal models: 70 years of merits and culprits in experimental autoimmune encephalomyelitis research. *Brain.* 2006; 129(Pt 8): 1953-71.
20. Narender N, Musfiquidin K, Manjeet K. Paintlia, Md Nasrul Hoda, and Shailendra Giri. Metformin Attenuated the Autoimmune Disease of the Central Nervous System in Animal Models of Multiple Sclerosis. *The Journal of Immunology.* 2009; 182(12): 8005-8014.
21. Stoll G, Jander S, Schroeter M. Cytokines in CNS disorders: neurotoxicity versus neuroprotection *J Neural Transm Suppl.* 2000; 59: 81-9.
22. Hirano T, Yasukawa K, Harada H, Taga T, et al. Complementary DNA for a

- novel human interleukin (BSF-2) that induces B lymphocytes to produce immunoglobulin. *Nature.* 1986; 324(6092):73–6.
23. Miller SD, Karpus WJ. The immunopathogenesis and regulation of Tcell-mediated demyelinating diseases. *Immunology Today.* 1994; 15(8): 356-361.
24. Kuan-Hung L, Kao-Chang L, Wan-Jung L, Philip-Aloysius T, et al. Astaxanthin, a Carotenoid, Stimulates Immune Responses by Enhancing IFN- and IL-2 Secretion in Primary Cultured Lymphocytes in Vitro and ex Vivo. *Int. J. Mol. Sci.* 2016; 17(1): 44;1-10.
25. Gruber JJ, Dhib-Jalbut S. Protective autoimmunity in the nervous system. *Pharmacol Ther.* 2009; 121(2): 147-59.
26. Jadidi-Niaragh F, Mirshafiey A. Th17 cell, the new player of neuroinflammatory process in multiple sclerosis. *Scand J Immunol.* 2011; 74(1): 1-13.
27. Balietti M, Giannubilo SR, Giorgetti B, Solazzi M, et al. The effect of astaxanthin on the aging rat brain: gender-related differences in modulating inflammation. *Journal of the Science of Food and Agriculture.* 2016; 96(2): 615-618.
28. Zhou Xy, Zhang F, Hu Xt, Chen J, et al. Depression can be prevented by Astaxanthin through inhibition of hippocampal inflammation in diabetic mice. *Brain Res.* 2017; 1657: 262-8.
29. Kim YH, Koh HK, Kim DS. Down-regulation of IL-6 production by astaxanthin via ERK-, MSK-, and NFkappaB- mediated signals in activated microglia. *Int Immunopharmacol.* 2010b; 10(12): 1560–1572.
30. Speranza L, Pesce M, Patruno A, Franceschelli S, et al. Astaxanthin treatment reduced oxidative induced pro-inflammatory cytokines secretion in U937: SHP-1 as a novel biological target. *Mar. Drugs.* 2012; 10(4): 890–899.
31. Bidaran S, Ahmadi AR, Yaghmaei P, Sanati MH, et al. Astaxanthin effectiveness in preventing multiple sclerosis in animal model. *Bratisl Med J.* 2018; 119 (3);160 – 166.

Study of the preventive and therapeutic effects of astaxanthin carotenoids on Multiple Sclerosis (MS) Disease in C57BL/6 Mice

Bidaran S, Ph.D.¹, yaghmaie P, Ph.D.^{1*}, Ahmadi A, Ph.D. ², Ebrahim Habibi A, Ph.D. ³, Sanati MH, Ph.D.⁴

1. Islamic Azad University, Science and Research Branch of Tehran, Faculty of Basic Sciences, Department of Biology, Tehran, Iran.
2. Al-Zahra University, Women's Research Center, Biomedical Group, Tehran, Iran.
3. Tehran University of Medical Sciences, Endocrine Research Center, Department of Molecular Modeling, Tehran, Iran.
4. National Institute of Genetics and Biotechnology, Department of Medical Genetics, Tehran, Iran

* Email corresponding author: yaghmaei_p@yahoo.com

Received: 16 Oct. 2018

Accepted: 23 Dec. 2018

Abstract

Aim: In the present study, we examined the possibility of astaxanthin usage in the MS model of mice, experimental autoimmune encephalomyelitis (EAE).

Material and methods: EAE disease was induced using MOG35-55 peptide and complete Freund adjuvant (CFU) in female C57BL/6 mice. Mice were divided into control, patient group (MS model, EAE), and prevention group, the group received astaxanthin for 21 days before immunization, and astaxanthin treatment was initiated when mice showed the first symptoms of EAE. Each group consisted of 8 mice. The consumption of Astraxanthin was continued for 35 days, and each mouse received astaxanthin about 0.4% of the weight of used pellet (about 400 mg). Cell proliferation was measured by MTT, IL1 β , but IL6 levels (proinflammatory cytokines) were measured by ELISA. In addition, the spinal cord tissues were also taken for immunohistopathological evaluations.

Results: Based on the results, the use of astaxanthin produced appropriate clinical and pathological outcomes, lead to decrement of IL1 β , and IL6 proinflammatory cytokines ($P<0.0001$) production. Immunohistopathologic studies also showed a decrease in leukocyte infiltration in the spinal cord of experimental groups.

Conclusion: Overall, this drug approach can be considered as a useful strategy in the prevention and treatment of multiple sclerosis.

Keywords: Astaxanthin, experimental encephalomyelitis autoimmune, proinflammatory cytokine, multiple sclerosis